

تعیین ترادف نوکلئوتیدی و بررسی علائم دو جدایه جدید ویروس موزائیک هندوانه از استان های خراسان رضوی و شمالی

زهره مرادی^{*}- بهروز جعفرپور^۲ - محمد علی سبک خیز^۳

تاریخ دریافت: ۱۳۸۹/۹/۲۸

تاریخ پذیرش: ۱۳۹۰/۸/۳

چکیده

طی سال های ۱۳۸۸-۱۳۸۹، تعداد ۳۲۳ نمونه با عالیمی از قبیل موزائیک، بدشکلی، تاولی برگ، رگبرگ نواری و زردی از مزارع مختلف کدوئیان و گلخانه های خیار استان های خراسان رضوی و شمالی جمع آوری شد. با استفاده از آزمون DAS-ELISA آلودگی ۹۵ نمونه به ویروس موزائیک (WMV) تایید شد. واکنش RT-PCR با استفاده از یک جفت آغازگر اختصاصی از تاولیه زن پروتئین پوششی منجر به تکثیر قطعه ای در حدود ۸۲۲ جفت باز در نمونه های الیزا مثبت شد. محصول PCR مربوط به دو جدایه از کدو (شیروان) و خربزه (طرقبه-شاندیز) تعیین توالی شدند. ترادف های بدست آمده پس از هم ر دیفسازی چندگانه با برنامه ClustalW2 با برخی از توالی های موجود در بانک زن مقایسه گردیدند. جهت تعیین جایگاه تکاملی و رسم دندروگرام تبارزای این جدایه ها از روش Neighbor-joining نرم افزار 4.0 Mega استفاده گردید. آنالیز فیلوجنتیکی جدایه های تعیین ترادف شده نشان داد که این دو جدایه با سایر جدایه های ویروس موزائیک هندوانه بین ۹۲ و ۹۹ درصد در سطح نوکلئوتیدی و بین ۹۰ و ۹۶ درصد در سطح اسید آمینه ای مشابه دارند. تشابه توالی نوکلئوتیدی و اسید های آمینه این دو جدایه با یکدیگر به ترتیب ۹۶/۱ و ۹۹/۶ درصد تعیین گردید. علائم دو جدایه روی برخی از گیاهان محک از جمله *Citrullus lanatus*, *Cucurbita pepo*, *C. melo* var. reticulatus, *Cucumis sativus* و *Soybean mosaic virus* کمی متفاوت بود. طبق نتایج این بررسی جدایه های تعیین ترادف شده دارای شباهت بالایی با سایر جدایه های گزارش شده WMV در نقاط مختلف ایران می باشند.

واژه های کلیدی: ویروس موزائیک هندوانه، RT-PCR, DAS-ELISA, توالی یابی، آنالیز فیلوجنتیک

مقدمه

پروتئین های کوچک نقش خاصی را ایفا می کنند (۲). پیکره ویروس رشتہ ای شکل و انعطاف پذیر و فاقد غشا و دارای طول ۷۶۰ و عرض ۱۶ نانومتر است (۲). تاکنون بیش از ۳۱ ویروس آلوده کننده کدوئیان شناسایی شده اند که ۹ تای آن ها جزء خانواده پوتی ویریده و جنس پوتی ویروس می باشند (۱۳، ۲۲). ویروس های خانواده پوتی ویریده و جنس پوتی ویروس بزرگترین گروه ویروس های گیاهی هستند و دارای بیشترین اهمیت اقتصادی می باشند (۶). WMV، نخستین بار در سال ۱۹۶۵ توسط وب و اسکات از روی هندوانه (*Citrullus lanatus*) گزارش شد (۱۲). در سطح مولکولی، WMV رابطه فیلوجنتیکی نزدیکی با ویروس موزائیک سویا (SMV) دارد و به عقیده برخی از محققین WMV یکی از نزدیکهای SMV^۶ می باشد، در حالیکه این ویروس ها از نظر سرولوژیکی و بیولوژیکی تفاوت زیادی با هم دارند (۴، ۲۱). WMV دارای پراکنش

ویروس موزائیک هندوانه متعلق به جنس پوتی ویروس از خانواده Potyviridae است و دارای ژنومی یک بخشی از نوع RNA تک لای مثبت به طول ۱۰۰-۳۵ نوکلئوتید است که توسط یک پروتئین پوششی (cp)^۵ که وزن مولکولی آن ۳۴ کیلو دالتون است در برگرفته شده است. این ژنوم حاوی یک چهار چوب باز خواندنی (ORF)^۵ واحد است که کد کننده یک پلی پروتئین با ۳۲۱۷ با اسید آمینه می باشد. این پلی پروتئین به کمک آنزیمه های پروتئاز که توسط ویروس کد می شود، در محل های خاص شکسته شده و هر یک از

۱، ۲ و ۳- به ترتیب دانشجوی کارشناسی ارشد، استاد و دانشجوی دکتری بیماری شناسی گیاهی، دانشکده کشاورزی، دانشگاه فردوسی مشهد
(Email: zohrehmoradi2008@yahoo.com) *- نویسنده مسئول:

4- Coat protein

5- open reading frame

انواع کدو (Cucurbita spp) مشکوک به آلودگی از مزارع مختلف و گلخانه‌های خیار مناطق سرخس، تربت جام، تربت حیدریه، نیشابور، مشهد و اطراف آن، چناران، فریمان، کاشمر، خواف، فاروج، شیروان، بجنورد و سیزووار نمونه برداری انجام شد. برگ‌های جمع‌آوری شده از هر بوته در پاکت جداگانه قرار داده شد و در شرایط خنک به آزمایشگاه منتقل شد. برای شناسایی ویروس عامل آلودگی به نمونه‌های بیمار از روش ساندوبیچ دو طرفه الیزا^۱ (DAS-ELISA) و آنتی سرم چند همسانه ای اختصاصی WMV (DSMZ، آلمان) استفاده گردید. آزمون الیزا طبق روش کالدرک و آدامز (۱۹۷۷) انجام شد^(۱). نتایج بر اساس تغییر رنگ حفرات با استفاده از دستگاه الیزا خوان در طول موج ۴۰۵ نانومتر مورد ارزیابی قرار گرفتند. با توجه به میزان جذب عصاره برگ سالم (کنترل منفی) و با در نظر گرفتن فرمول $\bar{x} = \frac{3DS}{x} + \text{آستانه جذب گیاهان آلوده تعیین شد}$. در این فرمول \bar{x} میانگین جذب و DS انحراف معیار استاندارد مقادیر جذب چاهکهای سالم است.

خلاصه‌سازی بیولوژیکی، تکثیر و دامنه میزبانی ویروس برای جداسازی بیولوژیکی ویروس از گیاه سلمه تره (Chenopodium amaranticolor coste&Reyn) استفاده شد. به‌منظور تکثیر و نگهداری جدایه‌ها، پس از ظهور لکه‌های موضعی، لکه‌های مذکور جدا و در یک قطره با فر فسفات پتابسیم (Cucurbita pepo cv. zucchini) ۰/۰۱ مولار با pH=۷ له و روی بوته‌های سالم کدو (Cucurbita pepo cv. zucchini) در مرحله دو برگی مایه‌زنی گردید. برای مطالعه دامنه میزبانی و بررسی علائم جدایه‌ها عصاره برگ‌های آلوده به نسبت ۱:۱۰ (V/W) در بافر فسفات فوق الذکر تهیه و با کمک پودر کربوراندوم به برگ‌های گیاهان محک شامل خربزه (Cucumis melo var.cantaloupensis)، دو گونه سلمه تره (C. quinoa willd, C. amaranticolor.)، نخود (Datura pismum sativum L.)، داتوره (C. melo var. reticulatus) طالبی (stramonium) (Cucumis sativus L.CV. Dominus) N. tobacum (Cucurbita pepo cv. zucchini)، توتون (N. clevelandii Gray L.cv. Samsun)، هندوانه (Citrullus lanatus Cv. Crimson sweet) و لوپیا چیتی (phaseolus vulgaris cv. khorram) مایه زنی گردید. این گیاهان در گلخانه عاری از حشرات در دمای ۲۰-۲۵°C نگهداری شدند و نهایتاً علایم هر یک از این گیاهان پس از ۱۴ تا ۲۸ روز بعد از مایه زنی مکانیکی با آزمون الیزا مورد بررسی قرار گرفتند.

1- Double-antibody sandwich-enzyme linked immunosorbent assay

وسيعى در سراسر جهان است و بيشتر در مناطق با آب و هواي معتدل و مدیترانه اي گسترش دارد و از جمله عمده ترين پوتي ويروس هاي خسارت زا در مزارع جاليزى مى باشد^(۳). دامنه ميزبانی WMV بسيعرى در مقاييسه با ساير پوتي ويروس ها دارد و بيش از ۱۷۰ گونه گياهی متعلق به ۲۷ خانواده گياهی را آلوده مى كند^(۱۸). به طور طبيعى اين ويروس به تعداد زيادي علفهای هرز كه مى توانند به عنوان ميزبانی برای ويروس در بين محسولات باشند حمله مى برد^(۱۰) و علاوه بر كدوئيان به گياهانى مثل انواع نخود^(۱۴)، شبدر^(۱۷)، اركيدەها مثل وانيل^(۲۰)، Habenaria radiata^(۲۱)، پينيك و اسفنجيان^(۱۲) نيز حمله مى كند. مهم ترین روش انتقال آن در طبيعت توسط شته‌ها به صورت ناپا يا است و به راحتی از طريق مكانیکی نيز منتقل می شود. شدت و درصد بیماری‌های ناشی از ويروس ها ممکن است متغير باشد و بستگی به روابط و هبيستگی بين پاتون ها و ميزبانان، ناقلين و شرایط محطي و موقعیت جغرافیا يی مکانی که در آن جا بیماری اتفاق می افتد، دارد^(۲۲). در ايران برای اولین بار دسيز و همكارانش در سال ۲۰۰۷ تنوع مولکولي ۸ جدایه WMV از ايران را بر اساس يك قطعه ۲۱۸ نوكليوتيدی از ناحیه ۵' IR02-54 cp را بررسی و در سال ۲۰۰۸ ترادف كامل جدایه ۵' cp را تعیین كردند. به دنبال آن شريفي و همكاران^(۱۶)، ۱۸ جدایه از مناطق مرکزي و جنوبی ايران را بر اساس ژن cp آنالیز كردند^(۱۶). پس از آن شعيبي و همكاران^(۱۹)، ۴ جدایه از استان گلستان و يك جدایه از مشهد و يك جدایه از شيراز را بر اساس ژن cp با ساير جدایه‌های دنيا مقاييسه كردند.

استان خراسان از جمله مناطق مهم کشت انواع مختلف گیاهان جاليزى در ايران است و در سال‌های اخير WMV به دليل گستردگی وسیع روی کيفيت و کميٌت محسولات تأثير مهمی گذاشت و عملاً بازار پسندی آن‌ها را کاهش داده است به همين دليل و نيز برای تعیین تنوع مولکولي و بیولوژیکی جدایه‌های WMV نمونه برداری از مزارع و گلخانه‌های خیار مناطق مختلف استان‌های خراسان رضوی و شمالی صورت گرفت. سپس با توجه به نوع گیاه ميزبان و منطقه نمونه برداری محصول PCR مربوط به ژن پروتئين پوششی يك جدایه از خراسان شمالی (منطقه شيراز) و يك جدایه از خراسان رضوی (منطقه طرقبه-شاندیز) از دو جهت تعیین ترادف شدند و ترادف‌های به دست آمده در پايگاه اطلاعاتي NCBI ثبت و با ساير ترادف‌های موجود در GenBank مقاييسه شدند.

مواد و روش‌ها

جمع آوري نمونه و شناسایي ویروس

به منظور شناسایي اين ويروس در پائيز و تابستان سال ۱۳۸۸ از برگ‌های ارقام مختلف خيار ، خربزه ، هندوانه، خيار چبر، طالبی و

۱۰۰۰ میلی لیتر آب مقطر، $pH=8/3$) مورد بررسی قرار گرفت. پس از رنگ آمیزی ژل با اتیدیوم بروماید با دستگاه Transilluminator دستگاه Gel documentation از ژل عکسبرداری شد.

تعیین ترادف نوکلئوتیدی

از بین تعداد زیادی جدایه که از میزبانان و مکان‌های مختلف جمع آوری شدند و پس از الکتروفوروز بر روی ژل آگارز $1/7$ درصد در ناحیه مورد انتظار باند داده بودند، محصول PCR مربوط به دو جدایه از کدو (منطقه شیروان) و خربزه (منطقه طرقبه-شاندیز) به همراه جفت آغازگر اختصاصی تکثیر کننده زن پرورتین پوششی ویروس موزاییک هندوانه به شرکت MWG کشور آلمان ارسال و از دو جهت تعیین ترادف شدند. ترادف‌های به دست آمده در پایگاه اطلاعاتی GenBank با برنامه BLAST با ترادف‌های موجود در NCBI مقایسه شدند.

آنالیز ترادف نوکلئوتیدی و رسم درخت فیلوژنیکی

مقایسه هم‌ردهی سازی چندگانه^۲ ترادف نوکلئوتیدی بین جدایه‌های WMV از ایران و برخی از جدایه‌های سایر نقاط دنیا که در بانک زن ثبت شده بودند، با استفاده از برنامه ClustalW2 و نیز نرم‌افزار DNAMAN (Version 4.02) فیلوژنیکی از جمله درصد تشابه نوکلئوتیدی و اسیدآمینه‌ای بین برخی از جدایه‌های مورد استفاده با استفاده از نرم افزار DNAMAN انجام شد. درخت فیلوژنیکی این جدایه‌ها بر حسب تطابق ترادف نوکلئوتیدی و اسیدآمینه‌ای با استفاده از روش Neighbor-joining نرم افزار 4.0 Mega و بر اساس ۱۰۰۰ تکرار (bootstrap)، رسم گردید.

نتایج

آزمون سروولوژیکی و علائم ویروس

از ۳۲۳ نمونه جمع آوری شده، ۹۵ نمونه آلووده به WMV بودند. آلوودگی در تمام انواع کدوئیان دیده شد. عمدۀ ترین علائمی که مشاهده شد گردید موزاییک شدید و خفیف، بد شکلی برگ، تاولی، بند کفشه‌ی شدن برگ‌ها بود. البته وجود لکه‌های سبز روشن در زمینه برگ و کلروز حاشیه آن نیز مشاهده شد. در گیاه جوان طالبی و هندوانه میوه‌های تولید شده کوچک مانده و لکه‌هایی در روی آن‌ها مشاهده می‌شود. در کدو برگ‌ها زرد رنگ، بد شکل و تاولی شده بودند. مهم‌ترین نشانه روی میوه‌های کدو برآمدگی‌هایی بود که بیش

واکنش نسخه برداری معکوس و واکنش زنجیره ای پلیمراز^۱

نمونه‌هایی که در آزمون الایزا مثبت ارزیابی شدند با توجه به گیاه میزبان و منطقه نمونه برداری، برای استخراج آر.ان ای مورد استفاده قرار گرفتند.

استخراج آر.ان ای از بافت گیاهی با استفاده از محلول RNX™(Plus) سیناژن طبق دستورالعمل شرکت سازنده انجام شد. کلیه مراحل استخراج آر.ان. ای در شرایط سترون انجام شدند و تمامی محلول‌های مورد استفاده با آب سترون تیمار شده با آب دپسی (DEPC) تهیه شدند. جهت انجام واکنش‌های RT-PCR از یک جفت آغازگر اختصاصی WMV شامل آغازگر معکوس ۵'-ATT CAC GTC CCT TGC AGT GTG-3' و ۵'-GAA TCA GTG TCT CTG CAA TCA مستقیم (۱۵) به ترتیب واقع در ناحیه ۹۷۴۷-۸۹۲۶ و ۹۷۴۷-۸۹۴۸ ژنوم کامل به شماره EU660584 استفاده شد.

سترن cDNA با استفاده از کیت‌های Accupower RT (Bioneer Inc. Korea) Premix میکرولیتر از RNA استخراج شده و ۱ میکرولیتر از پرایمیر برگشت (۱۵pmol) به مدت ۵ دقیقه در دمای 70°C در دستگاه ترموسایکلر با دمای دریوش 10°C گرما داده شد تا آر.ان.ای واسرشته گردد و بالاصله به مدت ۵ دقیقه داخل یخ قرار داده شد. مخلوط حاصل با افزودن ۱۶ میکرولیتر از آب مقطر تریپتاتی به میکروتیوب‌های مخصوص کیت cDNA منتقل شد تا حجم نهایی به ۲۵ میکرولیتر برسد. پس از یک ورتكس کوتاه میکروتیوب‌ها در داخل دستگاه ترموسایکلر با دمای 42°C به مدت یک ساعت به منظور ستنر cDNA قرار گرفت و سپس به مدت ۵ دقیقه در 94°C جهت غیرفعال ساختن آنزیمها قرار داده شد. بعد از ساخت cDNA برای تکثیر آن از کیت PCR Premix (Bioneer) Accupower استفاده گردید. مقدار ۴ میکرولیتر از cDNA ساخته شده همراه با یک میکرولیتر از هر کدام از آغازگرهای رفت و برگشت (۱۰pmol) و ۱۵ میکرولیتر آب در واکنش ۲۵ میکرولیتری زنجیره‌ای پلیمراز مورد استفاده قرار گرفت. چرخه دمایی PCR عبارت از یک برنامه یک چرخه‌ای شامل دمای 94°C به مدت ۳ دقیقه و یک برنامه ۳۵ چرخه‌ای شامل دمای 94°C به مدت ۶۰ ثانیه، ۶۲ درجه به مدت ۶۰ ثانیه و ۷۲ درجه به مدت یک دقیقه بود. پس از آخرین چرخه PCR مخلوط به مدت ۱۰ دقیقه در 72°C نگهداری شد. محصول TBE با استفاده از الکتروفوروز بر روی ژل آگارز $1/7$ درصد در بافر ۱۰/۸ گرم تریس، ۵/۵ گرم اسید بوریک و ۰/۷۳ گرم EDTA در

علامی نشان ندادند.

واکنش نسخه برداری معکوس و واکنش زنجیره‌ای پلیمراز (RT-PCR)

واکنش RT-PCR که با استفاده از یک جفت آغازگر اختصاصی از زن cp انجام گردید، منجر به تکثیر قطعه‌ای به طول حدود ۸۲۲ جفت نوکلئوتید شد (شکل ۲). محصول PCR مربوط به دو جدایه از کدو (منطقه شیروان) و خربزه (منطقه طرقه-شاندیز) تعیین توالی شدند. با مقایسه تراالف‌های حاصل با اطلاعات موجود در بانک زن در پایگاه اطلاعاتی NCBI و برنامه BLAST شباهت آن‌ها با جدایه‌های مختلف ویروس موزاییک هندوانه مورد بررسی قرار گرفت.

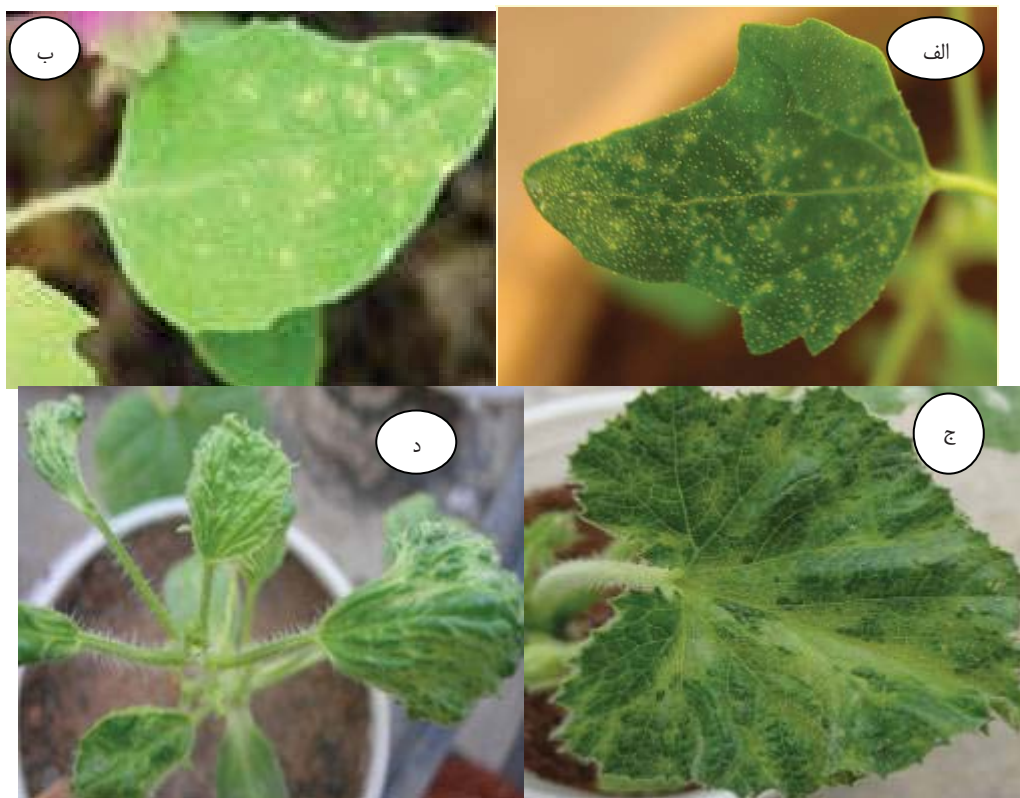
آنالیز تراالف‌های نوکلئوتیدی

اندازه قطعه تکثیر شده مربوط به دو جدایه از کدو (منطقه شیروان) ۷۶۶ نوکلئوتید و خربزه (منطقه طرقه-شاندیز) ۸۲۲ نوکلئوتید تعیین شد.

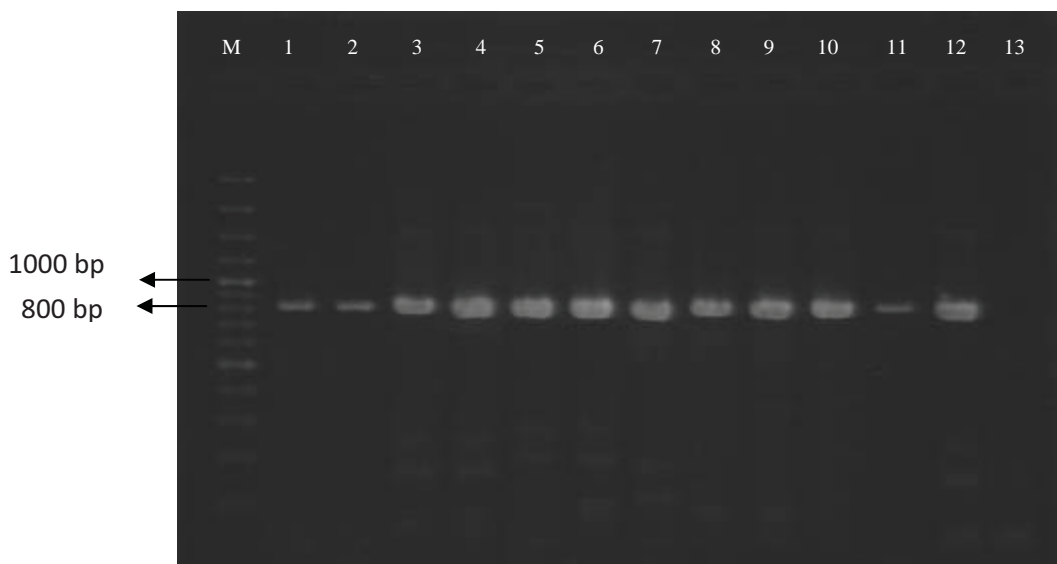
از حد طبیعی رشد کرده و سبب بد شکلی میوه می‌شدن. عمده‌ترین علائم مشاهده شده در خیارهای گلخانه‌ای موزاییک همراه با تاولی شدن برگ به صورت خفیف تا شدید بود، گاهی اوقات میوه‌ها کوتاه و کمانی که برآمدگی‌های روی آن‌ها مشاهده می‌شد، نیز آسودگی به این ویروس را نشان دادند.

بررسی علائم دو جدایه روی گیاهان محک

جدایه‌ها بر اساس ظهور علائم در گیاهان محک مختلف مقایسه شدند. هر دو جدایه روی برگ‌های تلقیح شده دو گونه سلمه تره (C. quinoa و amaranthicolor) لکه‌های موضعی کلروزه ایجاد کردند. این جدایه‌ها بر روی خربزه و کدو مسمایی سبب ایجاد موزاییک سیستمیک، تاولی و بدشکلی برگ شدند. جدایه FUM4 بر روی هندوانه سبب ایجاد تاولی برگ و موزاییک سیستمیک شده و روی طالبی موزاییک خفیف و زردی سیستمیک ایجاد نمود (شکل ۱) در حالیکه FUM3 سبب ایجاد روشنی رگبرگ سیستمیک در هندوانه و طالبی شد و بر روی کدو مسمایی علاوه بر علائم ذکر شده سبب رگبرگ نواری برگ نیز گردید. جدایه FUM4 روی خیار موزاییک سیستمیک نشان داد ولی علائم جدایه FUM3 به صورت نهفته بود. جدایه‌ها روی گونه‌های توتون، نخود فرنگی، لوپیا چیتی و داتوره



شکل ۱ - علائم WMV روی تعدادی از گیاهان محک کاشته شده در گلخانه. الف- لکه موضعی کلروزه در سلمه تره (C.quinoa) و ب- (C.amaranthicolor) ج- موزاییک سیستمیک و تاولی برگ در کدو مسمایی د- موزاییک، تاولی و بد شکلی برگ در خربزه



شکل ۲- نقوش الکتروفورزی قطعه تکثیر شده در RT-PCR در ژل آگاروز ۱٪ مربوط به ۱۲ جدایه ای انتخابی WMV از نقاط مختلف استان های خراسان رضوی و شمالی (۱ تا ۱۲). ۴ و ۵ FUM3، FUM4: کنترل منفی با آب مقطر. M- مارکر دی.ان.ای

نوکلئوتیدی) و ۹۶/۰ تا ۱۰۰ درصد (در سطح اسید آمینه ای) است. درصد تشابه توالی نوکلئوتیدی این دو جدایه (FUM4، FUM3) با یکدیگر ۹۹/۱٪ و درصد تشابه توالی اسیدهای آمینه این دو جدایه با یکدیگر ۹۹/۶٪ می باشد.

در سطح نوکلئوتیدی جدایه FUM3 کمترین شباهت (۹۲ درصد) را با جدایه WMV-Tonga (نام منطقه ای در جنوب شرقی آسیا) و بیشترین شباهت (۹۸/۶ درصد) را با جدایه ESF.ES.1 دارد و جدایه FUM4 کمترین شباهت (۹۲/۶ درصد) را با WMV-Tonga دارد (جدول ۱). در سطح اسیدآمینه ای جدایه FUM3 کمترین شباهت (۹۶/۲٪ درصد) را با جدایه USA (آمریکا) و بیشترین شباهت (۱۰۰ درصد) را با جدایه KER.KE.1 (آمریکا) و همچنین جدایه FUM4 کمترین شباهت (۹۶/۲ درصد) را با جدایه USA (آمریکا) و بیشترین شباهت (۹۶/۶ درصد) را با جدایه Mashhad و کرمان (KER.KE.1) دارد (جدول ۲). با توجه به دندروگرام رسم شده در بیشتر موارد بین دندروگرام تبارزائی و موقعیت جغرافیایی جدایه ها مخوانی وجود دارد. طبق نتایج این بررسی جدایه های تعیین ترادف شده از استان های خراسان رضوی و شمالی دارای شباهت بالایی با سایر جدایه های گزارش شده از این ویروس در نقاط مختلف ایران می باشند.

در دندروگرام رسم شده بر اساس توالی نوکلئوتیدی جدایه های FUM3 و FUM4 همراه با جدایه Mashhad در یک گروه قرار گرفته اند که این نتیجه می تواند تاییدی بر توالی بایی درست جدایه های FUM4 و FUM3 باشد.

این قطعات به ترتیب در بانک زن^۱ با رس شمارهای GU388311 و GU374126 تحت نامهای FUM4 و FUM3 ثبت شدند. ترادف ابتدا و انتهای FUM3 (قطعه شیروان) به دلیل اینکه درست خوانده نشده بود حذف شده لذا ترادف حاصل کمی کوچکتر از محصول PCR بود.

برای مقایسه جدایه ها، ۴۶ جدایه (جدول ۱) موجود در GenBank بررسی شدند. ترادف های موجود از ناحیه ژنوم متناظر با ناحیه تعیین ترادف شده حدود ۷۲۰ نوکلئوتید با موقعیت ۸۹۷۵ تا ۹۶۹۴ ترادف کامل جدایه ایرانی IR02-54 (EU660584) انتخاب و همردیف سازی شدند. تعداد هجده جدایه از ایران مربوط به استانهای اصفهان، یزد و کرمان و یک نمونه از ارومیه که توسط شریفی و همکاران (۱۶) گزارش شده بود و همچنین ۶ جدایه دیگر مربوط به گلستان، شیراز، مشهد که توسط شعیبی و همکاران (۱۹) گزارش شده بود نیز از بانک زن انتخاب گردیدند. پس از ادغام و تصحیح ترادف های حاصل، مقایسه همردیف سازی چندگانه ترادف نوکلئوتیدی جدایه های مذکور با دیگر جدایه های WMV از ایران و سایر نقاط دنیا نشان داد که همواره شباهت بین جدایه ها بیش از ۹۰ درصد می باشد (جدول ۲). دندروگرام حاصل از مطالعات تبارزائی (شکل ۳) نشان می دهد که جدایه های مورد بررسی WMV در ۶ گروه جدا از هم قرار می گیرند. شباهت این دو جدایه با سایر جدایه های ویروس موزائیک هندوانه بین ۹۲ تا ۹۶ درصد (در سطح

بحث

با توجه به اینکه تنوع بیولوژیکی WMV به خوبی شناخته شده است (۱۲) اما شناخت تمایز سویه‌ها و جدایه‌های آن به خصوص تجزیه و تحلیل‌های تنوع ژنتیکی و تکامل آن می‌تواند در مقیاس‌های جهانی و قاره‌ای و یا حتی منطقه‌ای راهگشای درک تکامل و توسعه بیمارگر و در نتیجه ارائه راهکار مناسب برای کنترل آن باشد (۱۱).

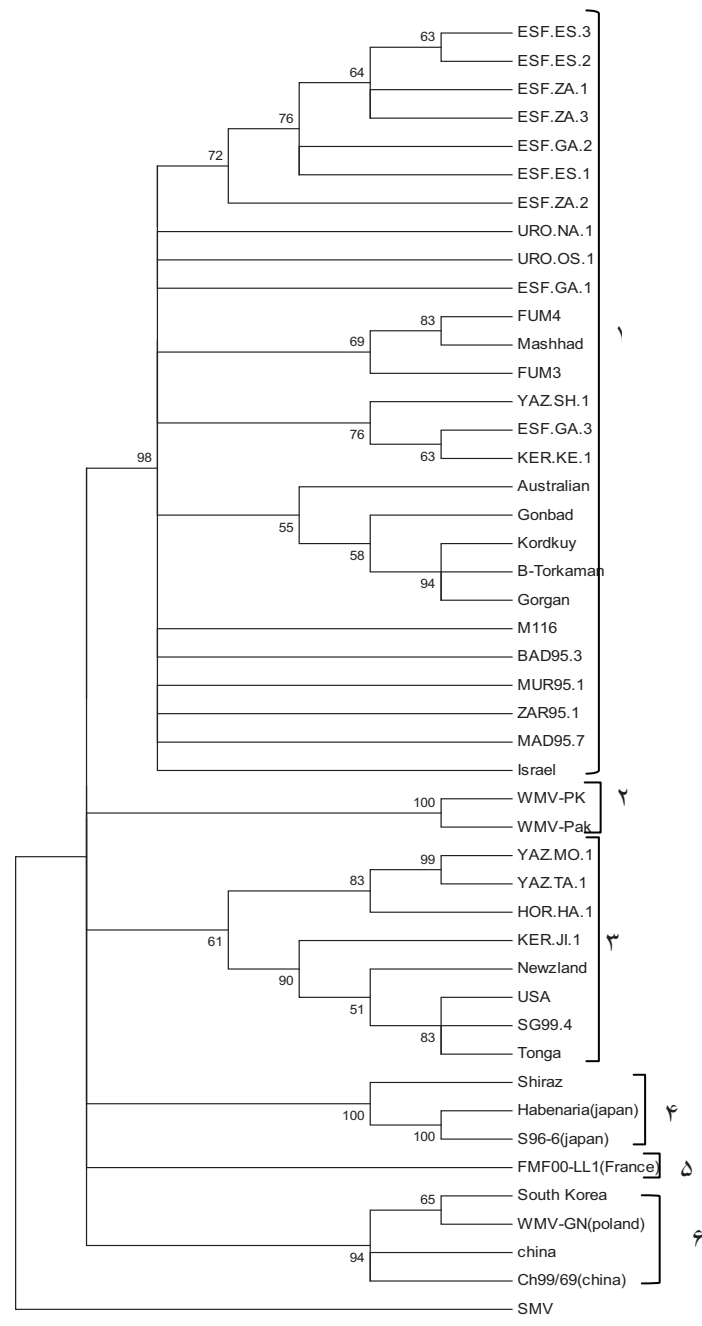
جزء اولین پوتی ویروس‌های شناخته شده آلوده کننده کدوییان است که سبب بیماری‌های مهم اقتصادی در محصولات خانواده کدوییان می‌شود (۱۲).

علائم بیماری ناشی از این ویروس ارتباط به میزان، سن گیاه و زمان آلودگی دارد و در گیاهان مختلف خانواده کدوییان متنوع است.

جدول ۱- مشخصات جدایه‌های ویروس موزاییک هندوانه مورد استفاده در این مطالعه

Isolate جدایه	Accession no. رس شمار	Host میزان	Origin منشاء	Number of nucleotides (bp)
FUM3	GU374126	zucchini squash	shirvan	760
FUM4	GU388311	melon	Torghabe-shandiz	822
WMV	D13913	melon	USA	3308
WMV (Comp)	AB369278	melon	South Korea	10037
WMV(CP-UTR)	D00535	Melon	Australia	1157
WMV-Fr	NC_006262	Watermelon	France	10035
WMV-ch99/69(Nib-CP-UTR)	EF127832	melon	China	1154
WMV-CHN(comp)	DQ399708	Watermelon	China	10037
WMV(comp)	AY995215	Watermelon	NewZealand	10037
WMV-Pak(comp)	AB218280	<i>C.melo</i> var. flexuosus	Pakistan	10039
WMV (Nlb-CP)	AB353119	Pumpkin	Japan	1167
WMV-HLJ(cp)	AY464948	Snake gourd	China	852
WMV Pak(Nib-CP-UTR)	AB127934	Snake gourd	Pakistan	2045
WMV SG99.3(cp)	AJ579524	<i>C.melo</i>	Spain	873
WMVMAD95.6(CP)	AJ579509	<i>C.melo</i>	Spain	873
WMV (CP)	AJ579493	<i>C.melo</i>	Spain	873
WMV (CP)	AJ579491	<i>C.melo</i>	Spain	873
WMV (CP)	AJ579493	<i>C.melo</i>	Spain	873
WMV (CP)	AJ579486	<i>C.melo</i>	Spain	873
WMV (Nib-CP)	AF551334	<i>C.melo</i>	Spain	1602
WMVHabenaria (Nib-CP)	AB001994	<i>C.melo</i>	Japan	1180
WMV (CP)	AF322376	<i>C.melo</i>	Israel	843
WMV Tonga(Nib-CP)	L22907	<i>C.melo</i>		1656
KER.JI.1(CP)	EU667627	<i>Citrullus colocynthis</i>	kerman-Jiroft	822
KER.KE.1(cp)	EU667644	<i>Cucumis melo</i> L.	Kerman-Kerman	822
YAZ.SH.1(cp)	EU667635	<i>C.melo</i> L.	Yazd-Sadogh	822
Yaz.MO.1(cp)	EU667638	<i>Cucumis sativus</i>	Yazd-Mohsenabad	822
Yaz.MO.2(cp)	EU667630	<i>Cucurbita pepo</i>	Yazd-Mohsenabad	822
Yaz.TA.1(cp)	EU667632	<i>Cucurbita pepo</i>	Yazd-Taft	822
ESF.ES.1(cp)	EU667637	<i>C. moschata</i>	Esfahan-esfahanak	822
ESF.ES.2(cp)	EU667640	<i>C.melo</i> L.	Esfahan-esfahanak	822
ESF.ES.3(cp)	EU667633	<i>Cucumis sativus</i>	Esfahan-esfahanak	822
ESF.GA.1(cp)	EU667641	<i>Cucumis sativus</i>	Esfahan-Gaz	822
ESF.GA.2(cp)	EU667634	<i>Cucurbita maxima</i>	Esfahan-Gaz	822
ESF.GA.3(cp)	EU667643	<i>Cucumis sativus</i>	Esfahan-Gaz	822
URO.NA.1(cp)	EU667629	<i>C. maxima</i>	Uromiae-Naghadae	822
URO.OS.1(cp)	EU667631	<i>C.melo</i> L.	Uromiae-Oshnavia	822
Bandar-Torkaman 129(cp)	GQ421156	Watermelon	BandarTorkaman	958
Gonbad 68 (cp)	GQ421157	Watermelon	Gonbad- Gorgan	958
Mashhad(cp)	GQ421158	Summer squash	Mashhad	963
Gorgan 132(cp)	GQ421159	winter squash	Gorgan- Gorgan	958
Kordkuy 127(cp)	GQ421160	Summer squash	Kordkuy	958
Shiraz (cp)	GQ421161	Summer squash	Shiraz	962

جدول - ۳ درصد تشاهد نوکلئوتیدی (سمت راست و بالا) و امیدوارنده‌ای (سمت چپ و پائین) بین ترکیب جاذبه‌های مور استفاده WNV در این مطالعه



شکل ۳- دندروگرام حاصل از تطابق ترادف نوکلئوتیدی ۶۴ جدایه WMV از همردیف سازی ۷۲۰ نوکلئوتیدی از ژن پروتئین پوششی با استفاده از روش Neighbour-joining. اعداد نمایانگر درصد bootstrap هستند و مقدار bootstrap تکرار برای محاسبه روابط فیلوژنتیکی به کار رفته است. مقادیر bootstrap بیشتر از ۵۰ درصد روی گره‌ها نشان داده است و ریشه‌های با ارقام کمتر از آن فشرده شده‌اند. SMV به عنوان عضو گروه WMV (Soybean mosaic virus) در نظر گرفته شده است.

ترادف‌های ثبت شده در بانک ژن مربوط به این ناحیه است (۱۹) که در این بررسی نیز از ترادف‌های ژن CP برای مقایسه و آنالیز استفاده شده است. به طور کلی در این تحقیق به منظور طبقه‌بندی جدایه‌های WMV از دو استان و تعیین موقعیت آن‌ها در جایگاه صحیح، تمامی

علی‌رغم نظریه برخی از محققین مبنی بر استفاده از ترادف نوکلئوتیدی ژن CI در تعیین روابط فیلوژنتیک بین جدایه‌ها و سویه‌های پوتیویروس‌ها، هنوز ناحیه ۵' CP-UTR در آنالیز فیلوژنتیک و تعیین این روابط بیشترین کاربرد را دارد و بیشترین

در حالیکه جدایه FUM4 (منطقه طرقه-شاندیز) از استان خراسان رضوی بیشترین شباht(۹۹/۱ درصد) را با جدایه Mashhad مذکور از مزروعه با عالایم گزارش شده توسعه دارد، این امر تایید کننده این مطلب است که در اکثر موارد بین دندروگرام تبارزائی و تشابه نوکلئوتیدی و موقعیت جغرافیایی جدایه ها همخوانی وجود دارد و هرچه فاصله جغرافیایی جدایه ها از هم بیشتر باشد این فاصله در دندروگرام تبارزائی آن ها هم مشاهده خواهد شد.

اهمیت شناسایی ویروس WMV علاوه بر تأثیر آن در کاهش کمیت و کیفیت محصولات کدوئیان در این است که می تواند به عنوان کانون آلودگی برای سایر محصولات کشاورزی عمل نماید. از آنجا که خیار یکی از گیاهان پر مصرف جالیزی است، آلودگی تعداد زیادی از گلخانه های خیار به این ویروس نشان می دهد که گلخانه های خیار منطقه نیز در معرض خسارت جدی توسعه این ویروس هستند. رعایت عملیات زراعی و به کارگیری ارقاء مقاوم مؤثرترین راه کنترل این بیماری ویروسی شناخته شده است که از نظر اقتصادی و زیست محیطی ارزشمند می باشد برای انجام مطالعات دقیق تر در زمینه شناسایی چگونگی مقاومت در گیاهان کدوئیان بررسی فراتر سویه های ویروس موزاییک هندوانه در جهت معرفی ارقام مقاوم راهگشا خواهد.

خصوصیات بیولوژی، سروولوژی، مولکولی و توالی ژنی جدایه ها با توجه به تنوع ژنتیکی بالای ویروس WMV مدنظر قرار گرفت. در اغلب موارد عالایم مشاهده شده در مزروعه با عالایم گزارش شده توسعه شعبی و همکاران (۱۹) مشابهت داشت و همچنین اکثر عالایم ایجاد شده بر روی گیاهان محک موجود در گلخانه مشابه با عالایم گزارش شده از جدایه های مختلف این ویروس از سایر نقاط ایران بود.

از آنجاییکه دو جدایه مذکور از دو استان و از میزبان های متفاوت جدا شده اند بروز عالائم متفاوت روی تعدادی از گیاهان محک بیانگر تنوع بیولوژیکی دو جدایه است. دندروگرام رسم شده با روش Neighbor-joining ۱ با بیشترین تعداد، طیف وسیعی از جدایه های اروپا و خاورمیانه را در برگرفته است و اغلب جدایه های ایرانی ثبت شده در بانک ژن و همچنین جدایه های FUM3 و FUM4 در این گروه قرار گرفته اند. جدایه های FUM3 و FUM4 با سایر جدایه های گروه ۱ ویروس ۹۸ موزاییک هندوانه بین ۹۷ و ۹۹ درصد در سطح نوکلئوتیدی و بین ۹۸ و ۱۰۰ درصد در سطح اسید آمینه ای مشابهت دارند. همچنین در دندروگرام رسم شده بر اساس توالی نوکلئوتیدی، این دو جدایه همراه با جدایه Mashhad که توسعه شعبی و همکاران (۱۹) گزارش شده بود در یک گروه قرار گرفته اند. جدایه FUM3 از استان خراسان شمالی بیشترین شباهت (۹۸/۶ درصد) را با جدایه ESF.ES.1 دارد.

منابع

- Clark M.F., and Adams A.N. 1977. Characteristics of the micro plate method of enzyme-linked immunosorbent assay for the detection of plant viruses. *Journal of General Virology* 34: 475-483.
- Desbiez C., and Lecoq H. 2004. The nucleotide sequence of *Watermelon mosaic virus* (WMV, Potyvirus) reveals interspecific recombination between two related potyviruses in the 50 part of the genome. *Arch Virol* 149: 1619–1632
- Desbiez C., and Lecoq H. 2008. Evidence for multiple intraspecific recombinants in natural populations of *Watermelon mosaic virus* (WMV, Potyvirus). *Virology* 153: 1749-1754.
- Frenkel M.J., Ward C.W., Shukla D.D., 1989. The use of 30 non-coding nucleotide sequences in the taxonomy of potyviruses: application to *Watermelon mosaic virus* 2 and *Soybean mosaic virus*-N. *J. Gen. Virol.* 70: 2775–2783
- Gara I.W., Kondo H., Maeda T., Inouye N., Tamada T. 1997. Stunt disease of *Habenaria radiata* caused by a strain of *Watermelon mosaic virus*. *Ann. Phytopathol. Soc. Jpn* 63: 113–117
- Gray D.F., and Taylor S.C., 1998. Plant virology protocols. Humana press Inc. P:151-154
- Grisoni M., Davidson F., Hyrondelle C., Caruana M-L., Pearson M. 2004. Nature, incidence, and symptomatology of viruses infecting *Vanilla tahitensis* in French Polynesia. *Plant Dis.* 88: 119–124
- Inouye T. 1964. A virus disease of pea caused by *Watermelon mosaic virus*. Berlin Ohara Inst. Landwirtsch Biol. 12: 133–143
- Laemmli U.K. 1970. Cleavage of structural proteins during the assembly of the head of bacteriophage. *Nature* 227:680-689
- Lecoq H. 1992. Les virus des cultures de melon et de courgette de plein champ (I). *PHM. Rev. Horticole.* 324:15-25
- Moreno I.M., Malipica J.M, Diaz- Pendon J.A., Moriones E., Fraile A., and Gracia- Arenal F. 2004. Variability and genetic structure of the population of *Watermelon mosaic virus* infecting melon in Spain. *virology* 318:451-460

- 12- Purcifull D.E., Hiebert E., Edwardson J. 1984. *Watermelon mosaic virus 2*. Description of Plant Viruses CMI/AAB 293
- 13- Sidek Z. 1999. Viruses of cucurbits: The strategies. Sustainable crop protection practices in the next Millennium: MCB-MAPPS Plant protection conference 99 proceeding. p.68-71
- 14- Schroeder WT., Provvidenti R. 1971. A common gene for resistance to *Bean yellow mosaic virus* and *Watermelon mosaic virus 2* in *Pisum sativum*. *Phytopathology* 61: 846–848
- 15- Shabanian M., Masomi H., Hoseinipour A., Heidarnejad J., and Azami Z. 2007. Identification and distribution of cucumber-infecting viruses in the jiroft greenhouses and partial characterization of *Zucchini yellow mosaic virus* collected from this region. *J. sci. and Technol. of Agric and Natur. Resour.* 11: 393 – 406.
- 16- Sharifi M., Massumi H., Heydarnejad J., Hosseini pour A., Shaabanian M., and Rahimian H. 2008. Analysis of the biological and molecular variability of *Watermelon mosaic virus* isolates from Iran. *Virus genes* 37: 304–313.
- 17- Sherf A.F., and Macnab A. A. 1986. Vegetable Disease and Their Control. John Wiley and Sons, New York.
- 18- Shukla D.D., Ward C.W., Brunt A.A. 1994. The potyviridae. CAB International, Wallingford, UK
- 19- Shoeibi S., Masumi M., Nasrollahnezhad S., Heydari S., Izadpanah K., and Ahmadikhah A., 2009. Sequencing of Six Iranian Isolates of *Watermelon Mosaic virus* and phylogenetic comparation of Iranian isolates with other isolates of the word. *Iran. J. Plant Path.* 45: 39-42
- 20- Wang Y.Y., Beck D.L., Gardner R.C., Pearson M.N. 1993. Nucleotide sequence, serology and symptomatology suggest that vanilla necrosis potyvirus is a strain of *Watermelon mosaic virus II*. *Arch Virol* 129: 93–103
- 21- Yu M.H., Frenkel M.J., Ward C.W., Shukla D.D., Strike P.M., and Ward C.W. 1989. Coat protein of potyviruses, 6. Amino acid sequences suggest *Watermelon mosaic virus 2* and *Soybean mosaic virus -N* are strains of the same potyvirus. *Archives of Virology* 105, 55-64
- 22- Zitter T.A., Hopkins D.L., and Thomas C.E. 1996. Compendium of cucurbit diseases. American phytopathological society, st. paul, mn.